

伊方発電所

地盤(敷地周辺の地質・地質構造)について

平成27年3月20日
四国電力株式会社

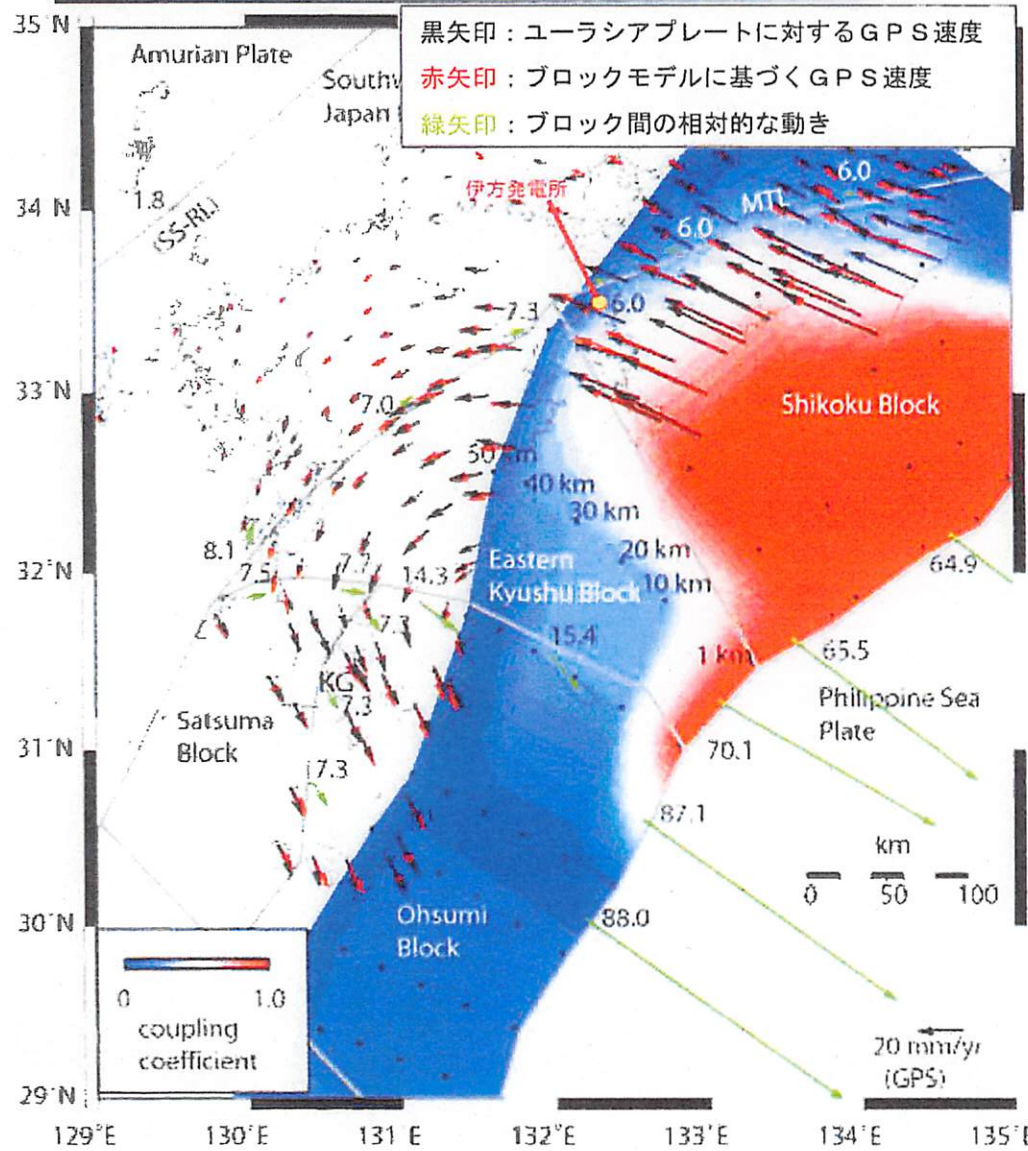
甲第58号証
A



II. 伊方発電所立地地点の地域性

フィリピン海プレートによる歪み蓄積

平成26年12月12日
審査会合資料一部修正



○四国はフィリピン海プレートのカップリングが強く、歪み蓄積速度が大きい。

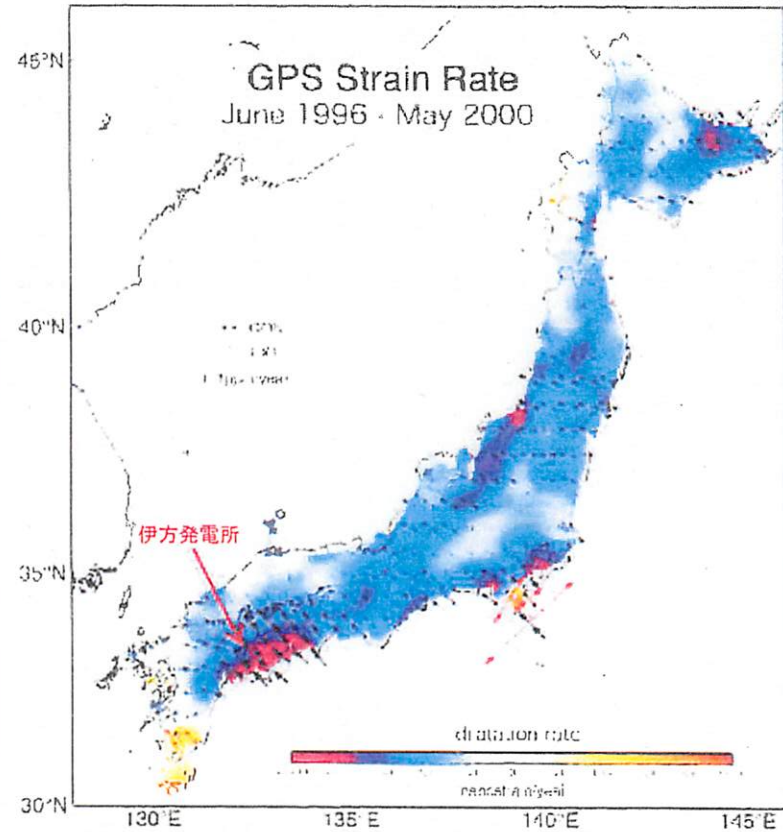


Fig. 3. Strain rate of the Japanese islands obtained from GEONET data. Strain rate was calculated in the same way as Sagiya et al. (2000) using the velocity data from June 1996 to May 2000. Dilatation rate is shown in color. Arrows denote principal strain rate axes.

Sagiya, T., 2004, A decade of GEONET: 1994-2003 –The continuous GPS observation in Japan and its impact on earthquake studies-, Earth Planets Space, 56, xxix-xli.

Wallace, L.M., S. Ellis, K. Miyao, S. Miura, J. Beavan and J. Goto, 2009, Enigmatic, highly active left-lateral shear zone in southwest Japan explained by aseismic ridge collision, Geology, 37, 2, 143-146.

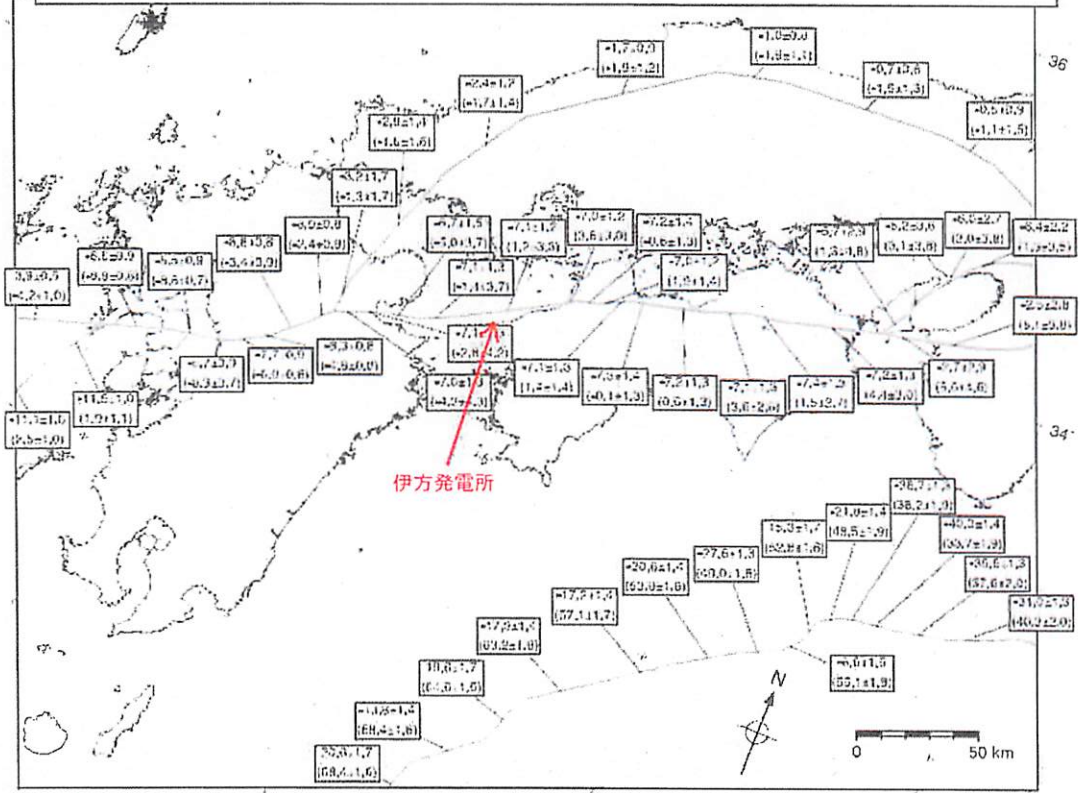
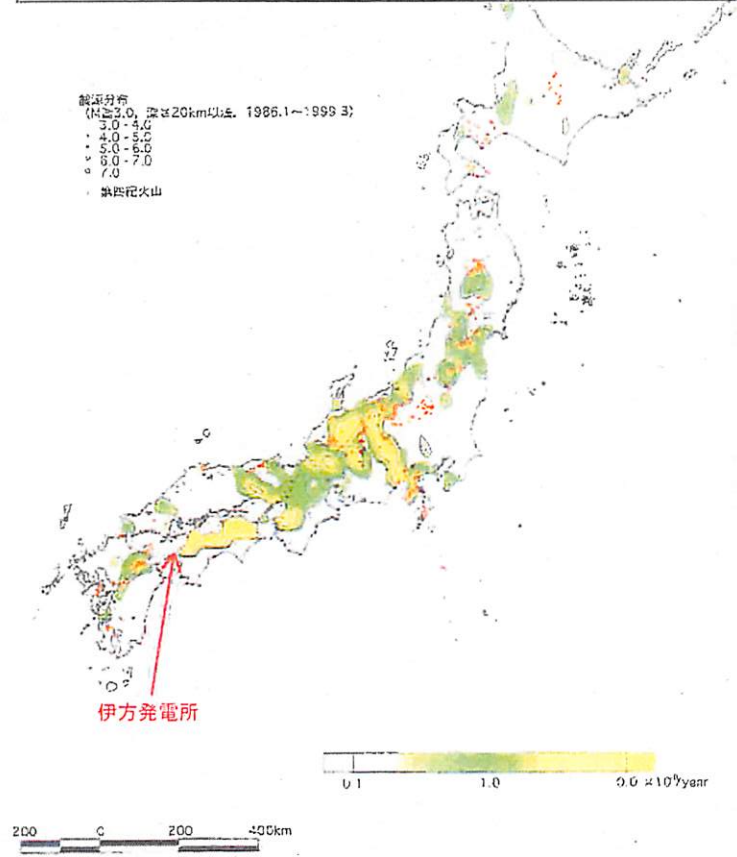
II. 伊方発電所立地地点の地域性

中央構造線の歪み蓄積速度

平成26年12月12日
審査会合資料一部修正

【野原ほか(2000)より抜粋】
「活断層の分布密度と活動度を考慮した地域性は、活断層による水平歪速度の分布に反映される。」
「特に値の大きい地域は、糸魚川-静岡構造線中部、奥飛騨地域、中央構造線四国地域である。」

○野原ほか(2000)によると活断層の検討から四国の中央構造線断層帯周辺域は歪み蓄積速度が特に大きい地域とされており、測地学的な検討 (Loveless and Meade, 2010) からも支持される。
○伊方発電所立地地点は歪み蓄積速度が相対的に大きいため、成熟度の高い活断層が発達しやすく、成熟度の低い活断層が存在し難い地域と評価される。



第7図 活断層による水平歪速度と震源および火山の分布
第四紀の火山の分布は第四紀火山カタログ委員会(1999)をもとにした。震源分布は、気象庁震源データ、震源速報および全国震源データをもち、深さ20km以下、マグニチュード3以上のものを示した。

Figure 5. Estimated fault slip rates on block bounding segments of southwest Japan. Bold gray lines indicate the fault traces and corresponding labels give strike (top) and fault-normal (bottom, in parentheses) slip rates and uncertainties. Loveless, J.P., B. J. Meade, 2010, Geodetic imaging of plate motions, slip rates, and partitioning of deformation in Japan, Journal of Geophysical Research, 115, B02410, 1-35.

野原 壮・郡谷順英・今泉俊文, 2000, 活断層GISデータを用いた地殻の歪速度の推定, 活断層研究, 19, 23-32.